

عنوان ارائه:

## یک سیستم رمزنگاری حفظ حریم خصوصی برای سامانه‌های مراقبت بهداشتی الکترونیکی اینترنت اشیاء

A privacy-preserving cryptosystem for IoT e-healthcare

توسط: علیرضا صادقی نسب

استاد: دکتر حسین غفاریان

تاریخ ارائه: ۱۳۹۹/۱۲/۲۰

# مقدمه

## اطلاعات مقاله

عنوان: *A privacy – preserving cryptosystem for IoT e – healthcare*

سال چاپ: 2020

تعداد ارجاع: 58

مجله: *Information Sciences*

ناشر: *Elsevier*



# مقدمه

## اطلاعات نویسندهان ■



Rafik Hamza

NICT

Verified email at nict.go.jp - [Homepage](#)

Security & Privacy Applied Cryptography Signal Processing Chaotic systems

Citations	562	562
h-index	9	9
i10-index	9	9



Zheng Yan

Professor, Xidian University

Verified email at xidian.edu.cn - [Homepage](#)

Information and Network S... Privacy Preservation Trust Modeling and Manag... Social Networking Mobile Communications

Citations	6974	5320
h-index	40	35
i10-index	138	111



Khan Muhammad

[FOLLOW](#)

Assistant Professor, Department of Software, Sejong University, Seoul 143-747, Republic of Korea

Verified email at ieev.org - [Homepage](#)

Information Security Video Summarization Computer Vision Video Analytics Deep Learning

Citations	5426	5390
h-index	44	44
i10-index	103	103



Paolo Bellavista

Full Professor, [University of Bologna](#)

Verified email at unibo.it - [Homepage](#)

Pervasive and Mobile Com... Middleware Edge Computing Industry4.0 Online Stream Processing

Citations	8675	4094
h-index	41	26
i10-index	143	76

## فهرست مطالب

- مقدمه
- معرفی روش
- آنالیز امنیتی
- بررسی نقاط قوت و ضعف

## مقدمه

- سامانه‌های مراقبتی بهداشتی الکترونیکی
  - در قرن ۲۱، بسیاری از روش‌های کاغذی، تبدیل به این سامانه‌ها شدند
  - این سامانه‌ها، از جهت به اشتراک‌گذاری داده‌ها، بسیار کارآمدتر از روش‌های سنتی قبلی هستند
  - داده‌های تبدیل شده به صورت کلی شامل موارد زیر هستند:

★ سوابق پزشکی الکترونیکی (*EMR*)

★ سوابق سلامتی پزشکی (*EHR*)

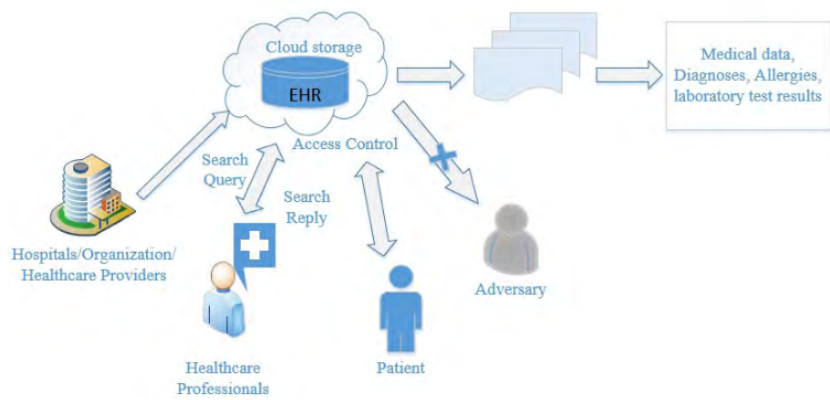
★ سوابق سلامتی شخصی (*PHR*)

★ داده‌های سلامتی الکترونیک (*EHD*)



## مقدمه

- لزوم حفظ حریم خصوصی در سامانه‌های مراقبت بهداشتی الکترونیکی
  - داده‌های موجود در این سامانه‌ها، شامل عکس‌ها و اطلاعات بیماران است. لذا، این داده‌ها را می‌توان در دسته داده‌های شخصی و حساس قرار داد
  - اگر فضای دسترسی به داده‌ها توسط افراد غیرقابل مجاز، وجود داشته باشد، ممکن است این داده‌ها توسط این افراد، تغییر داده شود



## مقدمه

### • رمزنگاری در عکس‌های دیجیتالی

در روش متدائل، فرستنده با یک کلید مخفی اقدام به رمزنگاری داده کرده و به سمت گیرنده می‌فرستد. گیرنده نیز با داشتن کلید مخفی فوق، اقدام به رمزگشایی می‌کند

رمزنگاری در حالت بالا معمولاً توسط الگوریتم‌های رمزنگاری همگن و مبتنی بر ویژگی اتفاق می‌افتد

در روش بالا، امنیت کاملاً وابسته به نگهداری کلید مخفی است

K932L219AD9F9C0C/X5AS4K  
SF49G89GSKD439PDFOC8FD  
9X\_C0B9E8\_FDI349SD0230S9  
P\_9\_FPD938CI49D9F87J4D050  
9FGS9F807H5J4S6D70S8D5F  
3G6H4143D8G6J38D9S7F5G4  
SD1A\_D0293U\_0B8S\_7F5H5A  
3149D\_1P31DS94J5LV23XV1Z  
13\_FK3H15KFO\_GVEWG39YC  
H16D8SD9137F\_G9D\_3MVC3  
9E8CJ329657FKM493KDU238  
SD72\_7SA89D08G8923ID908  
234NF8385YU\_ID93023\_D121  
11F749F1GU\_49D1OS\_0230

Level of Security



Computational Complexity

## مقدمه

★ ویژگی یک سیستم رمزنگاری خوب

☐ نسبت به تغییرات کلید مخفی بسیار حساس باشد

☐ پیچیدگی محاسباتی کمی داشته باشد

■ مشکل روش‌های قدیمی چیست؟

☐ روش‌های قدیمی پراستفاده معمولاً شامل *AES*, *DES* و *IDEA* هستند

☐ این روش‌ها برای داده‌های متنی و یک بعدی به کار می‌روند و برای عکس مناسب نیستند

☐ پیچیدگی محاسباتی زیادی دارند و مناسب سیستم‌های بلادرنگ نیستند



# معرفی روش

■ الگوریتم کلیدهای رمزنگاری

★ نام: نقشه آشفته دو بعدی Zaslavsky

★ مقدار طیف Lyapunov الگوریتم بالا ۱.۵۵ محاسبه شده است. این مقدار نشان می‌دهد

مشخصات آماری تصادفی خوبی دارد

★ بنابراین، خروجی سیستم بسیار آشفته و غیرقابل پیشگویی است

\* فرمول به صورت زیر است:

$$\begin{cases} x_{i+1} = x_i + v(1 + uy_i) + \varepsilon vu (\cos(2\pi x_i)) \bmod 1 \\ y_{i+1} = e^{-\tau}(y_i + \varepsilon \cos(2\pi x_i)) \\ \text{Where, } u = \frac{1-e^{-\tau}}{\tau} \end{cases}$$

# معرفی روش

■ الگوریتم کلیدهای رمزنگاری (ادامه)

★ نام: نقشه دو بعدی *logistic*

★ یک سیستم گسسته پویا با رفتاری آشفته است

★ نقشه غیرخطی فوق، رفتار تصادفی پیچیده‌تری نسبت به نقشه یک بعدی خود دارد

$$\begin{cases} x_{i+1} = r(3y_i + 1)x_i(1 - x_i) \\ y_{i+1} = r(3x_{i+1} + 1)y_i(1 - y_i) \end{cases}$$

★ فرمول به صورت رو به رو است:

★ اگر مقدار  $r$  در بازه ۱.۱۹ تا ۱.۱۹ باشد، سیستم دوبعدی لجستیکی ما، آشفته خواهد بود

★ مقدار طیف *lyapunov* الگوریتم ۳.۶۸ محاسبه شده است. این مقدار نشان می‌دهد

خروجی سیستم، آشفته و غیرقابل پیش‌بینی است

# معرفی روش

■ الگوریتم کلیدهای رمزنگاری (ادامه)

★ نام: مولد شبه اعداد تصادفی

★ از خروجی الگوریتم برای رمزنگاری پیکسل‌های عکس ورودی استفاده می‌شود

---

### Algorithm 1 Pseudo random numbers generator.

**Input:**  $x_{l(0)}, y_{l(0)}, \nu, \varepsilon, \tau, x_{z(0)}, y_{z(0)}, r, m$ .

1:  $[x_l, y_l] \leftarrow [x_{l(0)}, y_{l(0)}]$

2:  $[x_z, y_z] \leftarrow [x_{z(0)}, y_{z(0)}]$

3: **For**  $i = 1$  to  $\text{ceil}(m/4)$

$[x_l, y_l] \leftarrow \text{Logistic}(x_l, y_l, r)$   $[x_z, y_z] \leftarrow \text{ZCM}(x_z, y_z, \nu, \varepsilon, \tau)$

$\text{Vec}(4 \times i) = \text{round}(\text{abs}(10^{14} \times x_z \times x_l \times y_l)) \bmod 256$ .

$\text{Vec}(4 \times i + 1) = \text{round}(\text{abs}(10^{14} \times x_l \times x_z \times y_z)) \bmod 256$ .

$\text{Vec}(4 \times i + 2) = \text{round}(\text{abs}(10^{14} \times y_z \times x_l \times y_l)) \bmod 256$ .

$\text{Vec}(4 \times i + 3) = \text{round}(\text{abs}(10^{14} \times y_l \times x_z \times y_z)) \bmod 256$ .

**End**

**Output:**  $\text{Vec}$

---

---

### Algorithm 2 The generation of encryption keys.

**Input:**  $x_{l(0)}, y_{l(0)}, \nu, \varepsilon, \tau, x_{z(0)}, y_{z(0)}, r, K_{\text{initial}}, I(\text{Plain image})$ .

1:  $[h, w, e] \leftarrow \text{size}(I)$

2:  $m = \max(\max(10 + h, 10 + w \times e), 1034)$

3:  $\text{Vec} \leftarrow \text{PRNG}(x_{l(0)}, y_{l(0)}, \nu, \varepsilon, \tau, x_{z(0)}, y_{z(0)}, r, m)$

4:  $[\sim, V] \leftarrow \text{sort}(\text{Vec}(11 : h + 10))$

5:  $[\sim, V'] \leftarrow \text{sort}(\text{Vec}(11 : e \times w + 10))$

6:  $K \leftarrow \text{reshape}(\text{Vec}(11 : 1034), 32, 32)$

7:  $\alpha = \sum \text{Vec} \bmod 256$

8: *if*  $\alpha = 0$  *then*

$\alpha = \sum \text{Vec} \bmod 255$

*End if*

9:  $K \leftarrow (K_{\text{initial}})_{28}$

10:  $R \leftarrow \alpha \times K$

11:  $L \leftarrow (R^{-1})_{28}$

**Output:**  $V, V', \alpha, R, L$

---

# معرفی روش

الگوریتم رمزنگاری

مرحله ۱: حذف *footnote* های عکس

---

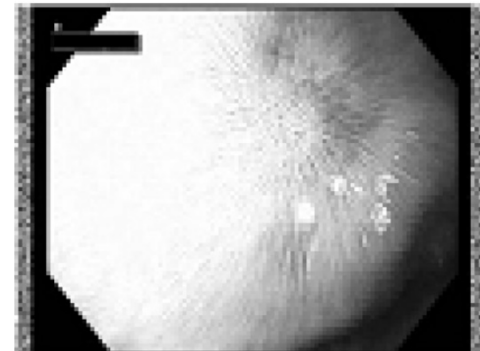
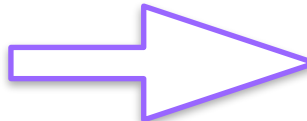
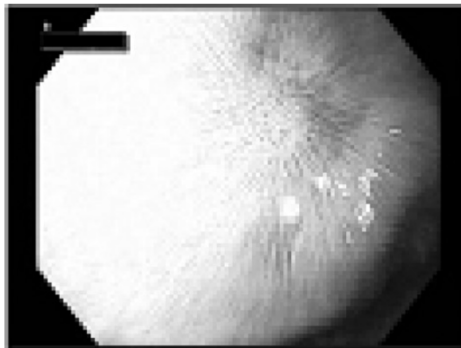
### Algorithm 3 Disruption footnotes.

---

**Input:**  $I_{R,G,B}$  (Plain image).

- 1:  $C_{R,G,B} \leftarrow \text{Noise}(I_{R,G,B})$
  - 2:  $C_{R,G,B}(1, 1) = I_{R,G,B}(1, 1);$
  - 3:  $C_{R,G,B}(end, end) = I_{R,G,B}(end, end);$
  - 4:  $C_1 \leftarrow [C_R \ C_G \ C_B]$
- Output:**  $C_1$
- 

افزودن نویز با تولید اعداد  
تصادفی و ترکیب آنها با  
پیکسلها به وسیله عملگر  
XOR



# معرفی روش

• الگوریتم رمزنگاری (ادامه)

- مرحله ۲: شیفت دادن ماتریس خروجی قسمت قبل به وسیله بردارهای  $V$  و  $V'$
- مرحله ۳: شیفت دادن هر زیربلاک ماتریس خروجی قسمت قبل به وسیله ماتریس  $R$
- مرحله ۴: اجرای الگوریتم فیلدۀای گالویس بر روی هر بلاک  $32 \times 32$  ماتریس خروجی قسمت قبل به صورت:

$$C_4 \leftarrow (L \cdot B_{C_3})_{2^8}$$

$$GF(p^n) = [f(0) \bmod p, f(1) \bmod p, \dots, f(p^n - 1) \bmod p, f(p^n) \bmod p]$$

for  $f(x) = \sum_{i=0}^n x^i k_i$ , i.e. an  $n$ -order polynomial with constants  $K$ .

• مرحله ۵: تکرار مرحله ۲

• مرحله ۶: تکرار مرحله ۶

# معرفی روش

✿ الگوریتم رمزنگاری (ادامه)

مرحله ۷:  $C_7 \leftarrow (B_{C_6} \cdot K)_{2^8}$  

مرحله ۸: تکرار مرحله ۲ 

مرحله ۹: فرمدهی ماتریس قسمت قبل به ۳ ماتریس 

★ خروجی ماتریس مرحله نهم، یک عکس تصادفی و غیرقابل تشخیص خواهد بود. بنابراین، به دست آوردن هر گونه اطلاعات بیماران بدون داشتن کلیدهای مخفی، ممکن نیست و در نتیجه، حریم خصوصی کاربر در این حالت، تضمین می‌شود

# معرفی روش

• الگوریتم رمزگشایی

• سیستم رمزنگاری معرفی شده، یعنی می‌توان بدون آنکه ظاهر بصری آن به هم

بخورد، آن را بازسازی کرد

• مرحله صفر: خواندن عکس رمز شده و اعمال الگوریتم‌های ۱ و ۲ بر روی آن

• مرحله ۱: تغییر ۳ ماتریس خروجی به یک ماتریس واحد

• مرحله ۲: اعمال برعکس مرحله دوم الگوریتم رمزنگاری، در این حالت، پیکسل‌ها ریکاور می‌شوند

• مرحله ۳: اعمال الگوریتم فیلدهای گالویس بر روی هر بلاک  $32 \times 32$  ماتریس خروجی قسمت

قبل به صورت:  $D_3 \leftarrow (B_{D_2} \cdot L)_{2^8}$

• مرحله ۴: اجرای الگوریتم مرحله سوم رمزنگاری به کمک متغیر  $R$

# معرفی روش

✿ الگوریتم رمزگشایی (ادامه)

✿ مرحله ۵: تکرار مرحله دوم

✿ مرحله ۶: اجرای مجدد الگوریتم فیلدھای گالویس به صورت:<sup>28</sup>



✿ مرحله ۷: تکرار مرحله چهارم

✿ مرحله ۸: تکرار مرحله دوم

✿ مرحله ۹: اجرای الگوریتم زیر:

**Algorithm 4** Recover footnotes blocks.

**Input:**  $D_8$ .

1:  $[D_R D_G D_B] \leftarrow D_8$

2:  $\text{Ones} \leftarrow \text{matrix of ones}[h, 21]$

3:  $D_{R,G,B}(1:h, 1:21) \leftarrow \text{Ones} \times D_{R,G,B}(1, 1)$

4:  $D_{R,G,B}(1:h, end - 20:-1:end) \leftarrow \text{Ones} \times D_{R,G,B}(end, end)$

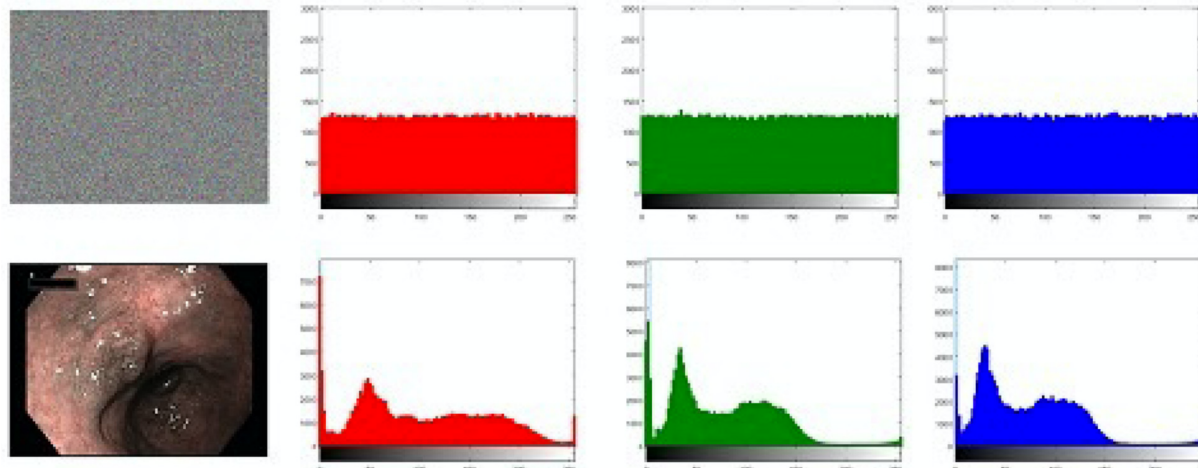
**Output:**  $D_{R,G,B}$

خروجی الگوریتم، عکس  
است که یک عکس  
رمزگشایی شده است

# آنالیز امنیتی

آنالیز هیستوگرام 

- توزیع داده‌های عکس‌های اصلی و رمز شده بررسی شده است 
- هیستوگرام، پیکسل‌های عکس را به صورت تعداد پیکسل‌ها در هر رنگ را به تصویر کشیده است 
- مقادیر پیکسل‌های عکس رمز شده یک توزیع یکنواخت و کاملاً متفاوت دارد 



# آنالیز امنیتی

## آنالیز آنتروپی اطلاعات

★ آنتروپی عکس‌های رمز شده جهت بررسی میزان تصادفی بودن، محاسبه شده است

★ از فرمول تست آنتروپی شanon استفاده شده است:  $E(C) = - \sum_{i=1}^n P(c_i) \log_2 P(c_i)$

★ ایده‌آل‌ترین امتیاز عددی تست آنتروپی شanon، ۸ است

**Table 1**  
The local Shannon entropy tests.

Component	Keyframe	Ciphered
R	7.2657	7.9995
G	7.0346	7.9994
B	6.9276	7.9994

**Table 2**  
The local Shannon entropy comparison tests.

Algorithm	Proposed	Yao et al. [20]	Wei et al. [19]
Image size	[640,480,3]	[512,512,3]	[256,256,3]
Entropy(Red)	7.9995	7.9993	7.9971
Entropy(Green)	7.9994	7.9993	7.9969
Entropy(Blue)	7.9994	7.9992	7.9962

# آنالیز امنیتی

آنالیز ضریب همبستگی 

- ☆ تست ضریب همبستگی، میزان توانایی سیستم رمزنگاری برای از بین بردن ارتباط بین پیکسل‌های همسایه را نشان می‌دهد
- ☆ ایده‌آل‌ترین حالت آن است که میزان این عدد صفر باشد (ارتباطی نداشته باشند)

**Table 3**

The correlation coefficient analysis.

Component	Keyframe			Ciphered		
	Horizontal	Vertical	Diagonal	Horizontal	Vertical	Diagonal
R	0.9937	0.9901	0.9854	0.0012	-0.0027	0.0002
G	0.9909	0.9834	0.9877	-0.0007	0.0021	-0.0010
B	0.9931	0.9824	0.9901	0.0015	-0.0010	0.0007

# آنالیز امنیتی

آنالیز آزمون‌های  $NPCR$  و  $UACI$  

آزمون  $NPCR$  به تعداد تغییر پیکسل‌ها هنگام تغییر یک پیکسل از عکس ساده اشاره دارد ★

آزمون  $UACI$  به میانگین شدت تغییر بین تصویر اصلی و رمز شده، اشاره دارد ★

ایده‌آل‌ترین مقدار آزمون اول، ۹۹.۶۱ درصد و آزمون دوم، ۳۳.۴۴ درصد است ★

$$NPCR(C_1, C_2) = \sum_{i,j} \frac{S(i, j)}{D} \times 100 \%$$

$$S(i, j) = \begin{cases} 0, & IF C_1(i, j) = C_2(i, j) \\ 1, & Elsewise. \end{cases}$$

$$UACI(C_1, C_2) = \sum_{i,j} \frac{C_1(i, j) - C_2(i, j)}{255 \times D} \times 100 \%$$

**Table 4**  
Results of NPCR and UACI test.

	0.05-level	0.01-level	0.001-level
Expected value NPCR	>99.5693%	>99.5527%	>99.5341%
Expected value UACI	33.2824-33.6447%	33.2255-33.7016%	33.1594-33.7677%
$NPCR_{(R,G,B)}$ (99.6098)	Pass	Pass	Pass
$UACI_{(R,G,B)}$ (33.4658)	Pass	Pass	Pass

# آنالیز امنیتی

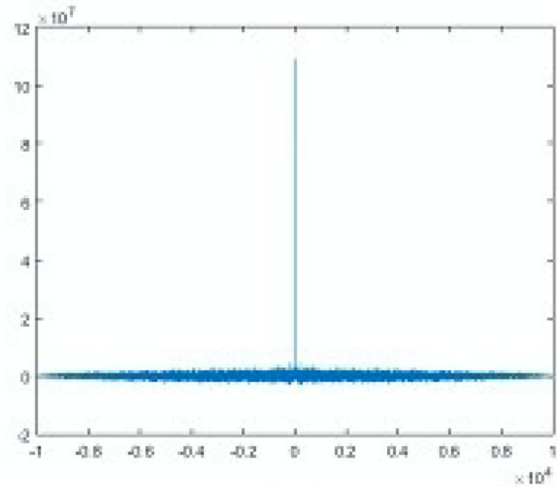
آنالیز تابع مولد شبه اعداد تصادفی 

★ این آزمون برای بررسی میزان شدت وابستگی الگوریتم به کلیدهای مخفی انجام شده است

★ دو توالی خروجی این الگوریتم با کلیدهای مخفی متفاوت از هم بررسی شده است. میزان تفاوت

این دو کلید در حد  $10^{-14}$  است

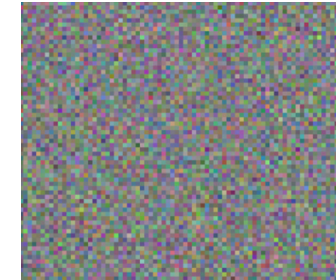
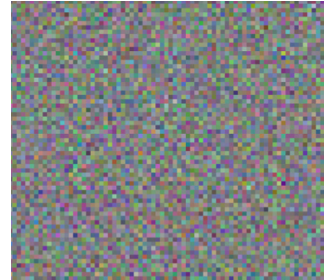
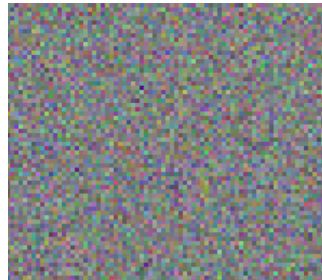
★ میزان همبستگی تفاوت این دو توالی در نمودار زیر مشخص است (اکثراً صفر است)



# آنالیز امنیتی

آنالیز میزان حساسیت 

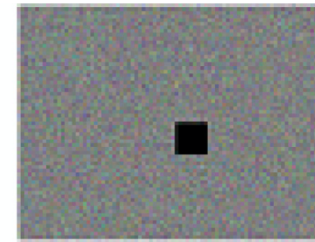
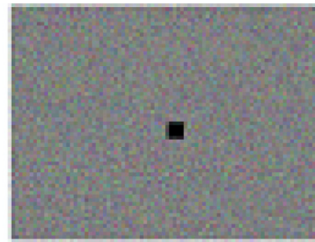
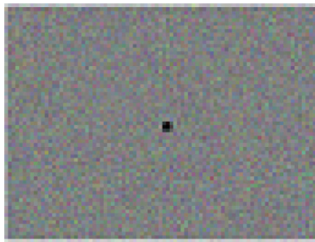
از ۳ کلید مخفی استفاده شده است که بسیار تفاوت ناچیزی دارند ( $10^{-14}$ ) ★



# آنالیز امنیتی

آنالیز میزان مقاومت کیفی عکس

در آزمایش انجام شده، تکه‌ای از پیکسل‌های عکس رمز شده، برداشته شده است



# آنالیز امنیتی

آنالیز سرعت رمزنگاری 

**Table 9**  
Encryption speed (KB/Sec) comparison.

Algorithm	Encryption
The proposed scheme	970
Belazi et al. [21]	167
Belazi et al. [22]	4.17
Hamza et al. [5]	205
Wu et al. [16]	5.12
Yao et al. [20]	437.75
Zhou et al. [17]	22.5

مقایسه با پژوهش‌های موجود دیگر 

Comparison analysis based on several analysis metrics.

Method	Image size	Key space	Speed analysis	NPCR & UACI analysis	Sensitivity analysis
Proposed [18]	[640,480,3] [1024,1024,1]	$2^{372}$ $2^{624}$	0.95/0.96 s 2.51/2.51 s	99.609 99.617	33.465 33.669
[5]	[256,256,1]	$2^{711}$	0.32/0.31	99.61	33.50
[19]	[256,256,3]	$2^{233}$	—	99.217	33.405
[16]	[640,480,3]	$2^{256}$	179.8/180.0 s	99.619	33.477
[17]	[640,480,3]	$2^{256}$	40.96/41.08 s	99.606	44.486

# بررسی نقاط قوت و ضعف

## ★ نقاط قوت

- ❑ مناسب برای سیستم‌های بلادرنگ است (سریع است)
- ❑ مقاومت بازسازی (رمزنگاری تصویر رمزنگاری شده مخدوش شده مطلوب است)
- ❑ فضای کلیدی بالایی دارد و در نتیجه، در مقابل حملات، مقاومت بالایی دارد
- ❑ امکان پیاده‌سازی واقعی توسط یک مدار مجتمع مانند یک *FPGA*

## ★ نقاط ضعف

- ❑ نبود مکانیزم کنترل دسترسی

با تشکر از توجه شما